

P17-2002-245

В. С. Шахматов, Н. М. Плакида, Н. С. Тончев¹

ОРБИТАЛЬНЫЙ ФАЗОВЫЙ ПЕРЕХОД
В $\text{Pr}_{1-x} \text{Ca}_x \text{MnO}_3$

Направлено в журнал «Письма в ЖЭТФ»

¹Институт физики твердого тела БАН, 1784 София

В работе [1] были приведены новые структурные данные о фазовом переходе (ФП) в мanganите $\text{Pr}_{0.6}\text{Ca}_{0.4}\text{MnO}_3$ в состояние с зарядовым и орбитальным упорядочением. Экспериментальные результаты были интерпретированы как наблюдение упорядоченных поляронов Зенера в низкотемпературной фазе. Кроме того, был сделан вывод о том, что подобное электронное состояние иона марганца может быть основным состоянием в мanganитах, в которых при уровне легирования $x=0,5$ наблюдается ФП с зарядовым и орбитальным упорядочением. Это электронное состояние характеризуется тем, что ионы марганца в кристалле имеют одинаковую валентность, в отличие от состояния [2,3], в котором происходит зарядовое разделение, а ионы Mn^{3+} и Mn^{4+} пространственно упорядочены.

Заметим, что сложная взаимосвязь орбитальных и зарядовых упорядочений характерна для мanganитов и при других уровнях легирования (см., например, [4,5]).

В настоящей работе, на основе симметрийного анализа, построена феноменологическая теория Ландау ФП в $\text{Pr}_{0.6}\text{Ca}_{0.4}\text{MnO}_3$. Показано, что этот ФП является орбитальным ФП, а два состояния [1] и [2,3] являются двумя типами орбитального упорядочения одного орбитального параметра порядка (ПП) (для данного ПП возможны три типа орбитального упорядочения). Таким образом, орбитальные, а не зарядовые степени свободы являются «мягкими» и их конденсация приводит к ФП.

ФП в $\text{Pr}_{0.6}\text{Ca}_{0.4}\text{MnO}_3$ происходит из кристаллической фазы с симметрией $Pnma$ (D_{2h}^{16}) и связан с волновым вектором $\mathbf{k}_1 = (1/2, 0, 0)$ [1-3] (декартова система координат, принятая в данной работе, показана на рис. 1). Согласно Ковалеву [6], ПП данного ФП является двухкомпонентным и может иметь симметрию неприводимого представления (НП) τ_1 или τ_2 . Используя два инварианта, $I_1 = \varphi_1^2 + \varphi_2^2$ и $I_2 = \varphi_1^2 \varphi_2^2$, для двухкомпонентного ПП $\{\varphi_1, \varphi_2\}$ разложение свободной энергии запишем в виде:

$$F_1 = F_\varphi + F_{\varphi\psi} + F_\psi, \quad (1)$$

$$F_\varphi = \frac{1}{2} r(\varphi_1^2 + \varphi_2^2) + \frac{1}{4} u(\varphi_1^2 + \varphi_2^2)^2 + \frac{1}{2} v\varphi_1^2 \varphi_2^2, \quad (2)$$

$$F_{\varphi\psi} = \beta_1 (\varphi_1^2 - \varphi_2^2)\psi, \quad F_\psi = \frac{1}{2} r_1 \psi^2. \quad (3)$$

Здесь коэффициент $r = \alpha(T - T_c)$; T_c - затравочная температура ФП; $\alpha, \beta_1, r_1, u, v$ - феноменологические константы, которые не зависят от температуры. $\{\varphi_1, \varphi_2\}$ - основной двухкомпонентный ПП с волновым вектором $\mathbf{k}_1 = (1/2, 0, 0)$, а ψ - вторичный ПП с волновым вектором $\mathbf{k}_2 = (0, 0, 0)$.

Отметим, что в разложении (2) мы ограничились слагаемыми четвертой степени по ПП, что достаточно для описания двух низкосимметричных фаз, $\varphi_i \neq 0$, $\varphi_j = 0$ и $\varphi_1 = \varphi_2 \neq 0$ (см., например, [7]). Для описания промежуточной фазы, $\varphi_1 \neq \varphi_2 \neq 0$, необходимо учитывать слагаемые до восьмой степени по ПП включительно. Полный симметрийный анализ этого ФП будет сделан в отдельной работе. Кроме того, в (3) имеется еще одно инвариантное слагаемое, $F_{\varphi\psi'} = \beta'_1 \varphi_1 \varphi_2 \psi'$. Однако в орбитальных структурах, обсуждаемых в настоящей работе, ПП ψ' не реализуется.

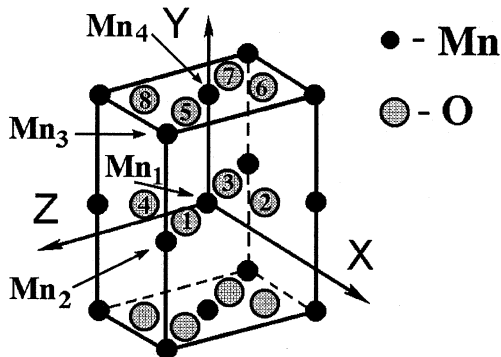


Рис.1. Структура подрешетки ионов марганца в кристаллической фазе *Rpta*. Стрелками показаны четыре неэквивалентных атома марганца в примитивной ячейке кристалла, а цифрами 1,...,8 обозначены неэквивалентные ионы кислорода, лежащие в плоскостях MnO_2

Структура орбитального упорядочения орбиталей типа d_{z^2} иона Mn^{3+} , в случае двух типов конденсации ПП, $\varphi_1 = \varphi_2 \neq 0$ и $\varphi_i \neq 0$, $\varphi_j = 0$, $\psi \neq 0$, показана на рис. 2а и б, соответственно. При анализе предполагалось, что в фазе *Rpta* орбиталь типа d_{z^2} лежит в плоскости MnO_2 и имеет два возможных направления, вдоль $\text{O}_4\text{-Mn}_1\text{-O}_2$ или вдоль $\text{O}_1\text{-Mn}_1\text{-O}_3$ (см. рис. 1). В случае симметрии ПП τ_1 направление орбитали в соседней плоскости MnO_2 (при смещении вдоль оси Y) не изменяется, а для τ_2 - меняется.

Орбитальные ПП $\{\varphi_1, \varphi_2\}$, ψ имеют физический смысл вероятностей заполнения электроном орбитали типа d_{z^2} . При конденсации ПП типа $\varphi_1 = \varphi_2 \neq 0$ (см. рис. 2а) вероятности заполнения орбитали типа d_{z^2} на всех ионах марганца одинаковы, что дает одинаковую валентность для ионов марганца. В случае конденсации ПП

типа $\varphi_1 \neq 0$, $\psi \neq 0$ (см. рис. 2б, с) вероятности заполнения электроном орбитали d_{z^2} на разных ионах марганца различны. Это приводит к зарядовому разделению и пространственному упорядочению ионов $Mn^{3.5+\delta}$ и $Mn^{3.5-\delta}$ ($\delta > 0$).

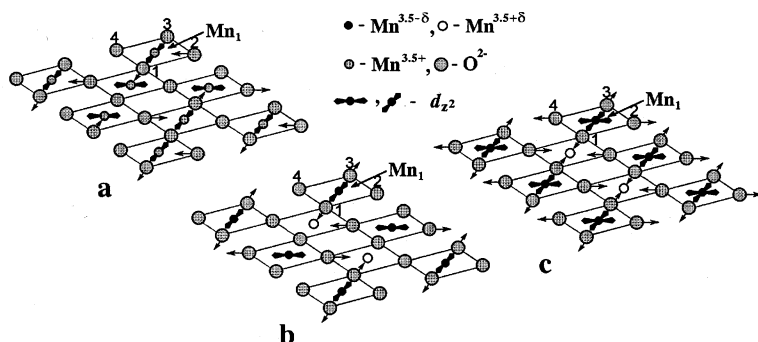


Рис. 2. Орбитальное упорядочение орбиталей типа d_{z^2} в плоскости MnO_2 . Стрелками показаны смещения атомов кислорода.
 а). Орбитальное упорядочение при конденсации ПП типа $\varphi_1 = \varphi_2 \neq 0$.
 б). Орбитальное упорядочение при конденсации двух ПП: $\varphi_1 \neq 0$ и $\psi \neq 0$.
 в). Зарядовое упорядочение при конденсации одного вторичного ПП $\psi \neq 0$

С учетом того факта, что орбиталь типа d_{z^2} на ионе Mn^{3+} увеличивает длину связи $O-Mn^{3+}-O$ (см., например, работы Хомского и Кутеля [8,9]) на рис. 2 стрелками показаны смещения ближайших атомов кислорода, которые следуют из построенной структуры орбитального упорядочения.

Таким образом, физической причиной орбитального ФП является суммарный выигрыш в свободной энергии за счет понижения электронной энергии при ориентационном упорядочении орбиталей типа d_{z^2} , при некотором проигрыше в энергии из-за упругой деформации октаэдров MnO_6 .

Результаты симметрийного анализа (см. рис. 2) приведены для мanganита с уровнем легирования $x=0,5$. В этом случае электрон в высокосимметричной фазе $Pnma$ занимает d_{z^2} орбиталь на ионе Mn с вероятностью $P=50\%$ и средняя валентность ионов марганца равна $Mn^{3.5+}$. В низкосимметричной фазе $\varphi_1 = \varphi_2 \neq 0$ валентность ионов марганца остается прежней - $Mn^{3.5+}$, а в фазе $\varphi_i \neq 0, \varphi_j = 0$ происходит зарядовое разделение на ионы $Mn^{3.5+\delta}$ и $Mn^{3.5-\delta}$. (Особенности структур с зарядовым упорядочением в низкосимметричных фазах будут рассмотрены в отдельной работе.) В экспериментах [10,11] обсуждаемый орбитальный ФП в $Pr_{1-x}Ca_xMnO_3$ наблюдался при концентрациях $0,3 < x < 0,7$. Считается (см., например, [1]), что в области концентраций $0,3 < x < 0,5$ избыток электронов, по сравнению с уровнем легирования $x=0,5$ (или их недостаток при $0,5 < x < 0,7$, хотя в этой области концентраций возможно появление страйповых орбитальных структур [4,9]), распределяется по кристаллу случайнным образом и приводит только к дефектам орбитальной структуры, качественно не изменяя саму структуру. Наша модель орбитального упорядочения при $0,3 < x < 0,5$ дает другую картину: в данной области концентраций должны наблюдаться как минимум две фазы с разными орбитальными структурами (подробнее см. ниже).

Структуру орбитального упорядочения можно определить с помощью исследования резонансного рассеяния рентгеновских лучей [12]. Однако интерпретация результатов, полученных данным методом, не является однозначной [13]. В настоящее время основную информацию об орбитальном состоянии иона марганца получают из данных о точной структуре октаэдра MnO_6 . В связи с этим ниже мы рассмотрим фононные степени свободы.

На рис. 3 стрелками показаны экспериментально наблюдаемые смещения атомов кислорода и марганца, определенные из

нейтронных дифракционных исследований [1-3]. Длинные связи Mn-O, обозначенные на рис. 3 через L, указывают на направление орбитали типа d_{z^2} в октаэдре MnO_6 [8,9]. Сравнивая рис.2а, б и рис.3а, б, видим, что построенные орбитальные структуры полностью согласуются с экспериментальными данными [1-3].

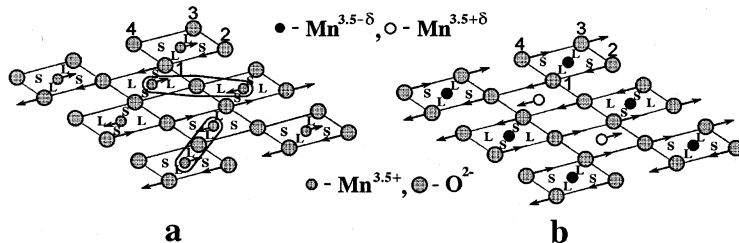


Рис.3. Смещения атомов кислорода и марганца в плоскости MnO_2 . Смещения атомов показаны стрелками. L - и S - длинные и короткие длины связей Mn-O в октаэдре MnO_6 . а). Смещения атомов в низкотемпературной фазе манганита $\text{Pr}_{0.6}\text{Ca}_{0.4}\text{MnO}_3$ [1]. Выделенные фрагменты структуры, Mn-O-Mn, представляют собой поляроны Зенера [1]. б). Смещения атомов в низкотемпературных фазах $\text{La}_{0.5}\text{Ca}_{0.5}\text{MnO}_3$ [2] и $\text{Pr}_{0.5}\text{Ca}_{0.5}\text{MnO}_3$ [3]

Для описания деформаций октаэдров MnO_6 введем фононные ПП, которые взаимодействуют с основным орбитальным ПП. Такими ПП являются двухкомпонентный ян-теллеровский ПП $\{\eta_1, \eta_2\}$ с волновым вектором $k_1=(1/2, 0, 0)$ и симметрией основного ПП и вторичный ПП ξ с волновым вектором $k_2=(0, 0, 0)$. Разложение свободной энергии, учитывающее орбитальные и фононные степени свободы, имеет вид

$$F = F_1 + F_{\varphi\eta} + F_\eta + F_{\varphi\xi} + F_\xi, \quad (4)$$

$$F_{\varphi\eta} = r_3(\varphi_1\eta_1 + \varphi_2\eta_2), \quad F_\eta = \frac{1}{2}r'_3(\eta_1^2 + \eta_2^2), \quad (5)$$

$$F_{\varphi\xi} = \beta_2(\varphi_1^2 - \varphi_2^2)\xi, \quad F_\xi = \frac{1}{2}r_2\xi^2. \quad (6)$$

Таким образом, полный набор сконденсированных орбитальных и фононных ПП для двух обсуждаемых случаев имеет вид

$$\varphi_1 \neq 0, \psi \neq 0, \eta_1 \neq 0, \xi \neq 0 \text{ и } \varphi_1 = \varphi_2 \neq 0, \eta_1 = \eta_2 \neq 0. \quad (7)$$

Отметим, что, аналогично (3), в (6) имеется дополнительное слагаемое, $F_{\varphi\xi} = \beta'_2 \varphi_1 \varphi_2 \xi'$, которое, в общем случае, необходимо учитывать. Однако для описания атомных смещений, показанных на рис.2 и 3, фононный ПП ξ' можно не рассматривать.

Орбитальный ПП имеет волновой вектор $k_1 = (1/2, 0, 0)$ и симметрию НП τ_1 или τ_2 . Следовательно, из кристаллической фазы с симметрией $Pnma$ возможны шесть различных ФП:

$$Pnma(D_{2h}^{16}) - \tau_1 \rightarrow P2_1 / m(C_{2h}^2), \quad Pmn2_1(C_{2v}^7), \quad Pm(C_s^1), \quad (8)$$

$$Pnma(D_{2h}^{16}) - \tau_2 \rightarrow P2_1 / c(C_{2h}^5), \quad Pna2_1(C_{2v}^9), \quad Pc(C_s^2). \quad (9)$$

Низкосимметричные фазы в (8) и (9) расположены в порядке конденсации ПП, $\varphi_1 \neq 0$, $\varphi_1 = \varphi_2 \neq 0$ и $\varphi_1 \neq \varphi_2 \neq 0$, соответственно. В экспериментах [1-3] наблюдались фазы с симметрией $P2_1 / m(C_{2h}^2)$, $Pmn2_1(C_{2v}^7)$ и $Pm(C_s^1)$, поэтому необходимо взять НП τ_1 . Ниже выписаны только те фононные базисные векторы для НП τ_1 , которые необходимы для описания экспериментально наблюдавшихся атомных смещений (см. рис. 3).

Симметризованные базисные векторы атомных смещений, $E(i)$, для двумерного НП τ_1 запишем в виде

$$E(i) \equiv \begin{pmatrix} e_1(i) \\ e_2(i) \end{pmatrix}. \quad (10)$$

Здесь единичные базисные векторы $e_1(i)$ и $e_2(i)$ определены в пространстве атомных смещений и связаны с фононным ПП $\{\eta_1, \eta_2\}$.

Для атомов марганца имеются 3 базисных вектора

$E(i) \equiv \begin{pmatrix} e_1(i) \\ e_2(i) \end{pmatrix}, i = 1, 2, 3$, которые записываются в виде

$$\sqrt{2}e_1(1) = u_x(Mn_2) + u_x(Mn_3), \quad \sqrt{2}e_2(1) = -u_x(Mn_1) - u_x(Mn_4),$$

$$\sqrt{2}e_1(2) = u_y(Mn_2) - u_y(Mn_3), \quad \sqrt{2}e_2(2) = -u_y(Mn_1) + u_y(Mn_4),$$

$$\sqrt{2}e_1(3) = u_z(Mn_2) + u_z(Mn_3), \quad \sqrt{2}e_2(3) = u_z(Mn_1) + u_z(Mn_4), \quad (11)$$

где $u_x(Mn_i)$ - единичное смещение атома Mn_i в направлении x . Смещения атомов марганца, показанные на рис. 3а и б, описываются функциями

$$[-e_1(3) - e_2(3)]\exp(-i\mathbf{k}_1\mathbf{R}_n) \quad \text{и} \quad e_1(3)\exp(-i\mathbf{k}_1\mathbf{R}_n), \quad (12)$$

соответственно. Здесь $\mathbf{R}_n \equiv n_1\mathbf{a}_1 + n_2\mathbf{a}_2 + n_3\mathbf{a}_3$, $\{n_i\}$ - целые числа, $\{\mathbf{a}_i\}$ - основные векторы трансляции для кристаллической фазы Rht a. Первая функция в (12) связана с конденсацией фононного ПП типа $\eta_1 = \eta_2 \neq 0$, а вторая - с $\eta_1 \neq 0, \eta_2 = 0$.

Для атомов кислорода в плоскостях MnO_2 существует шесть базисных векторов $E(i)$. Ниже приводятся только те из них, $E(i)$, $i=4, 5, 6, 7$, которые описывают смещения в плоскости (x, z) :

$$2e_1(4) = u_x(O_1) - u_x(O_3) + u_x(O_5) - u_x(O_7),$$

$$2e_2(4) = -u_x(O_2) - u_x(O_4) - u_x(O_6) - u_x(O_8),$$

$$2e_1(5) = u_x(O_2) - u_x(O_4) + u_x(O_6) - u_x(O_8),$$

$$2e_2(5) = -u_x(O_1) - u_x(O_3) - u_x(O_5) - u_x(O_7),$$

$$2e_1(6) = u_z(O_1) - u_z(O_3) + u_z(O_5) - u_z(O_7),$$

$$2e_2(6) = u_z(O_2) + u_z(O_4) + u_z(O_6) + u_z(O_8),$$

$$2e_1(7) = u_z(O_2) - u_z(O_4) + u_z(O_6) - u_z(O_8),$$

$$2e_2(7) = u_z(O_1) + u_z(O_3) + u_z(O_5) + u_z(O_7). \quad (13)$$

Смещения атомов кислорода, показанные на рис. 3а и б, описываются следующими функциями:

$$\left\{ \alpha_1 [e_1(6) + e_2(6)] + \alpha_2 [e_1(7) + e_2(7)] \right\} \exp(-i\mathbf{k}_1 \mathbf{R}_n) \text{ и} \\ [\alpha'_1 e_1(6) + \alpha'_2 e_1(7)] \exp(-i\mathbf{k}_1 \mathbf{R}_n) \quad (14)$$

соответственно. Первая функция в (14) связана с конденсацией фононного ПП типа $\eta_1 = \eta_2 \neq 0$, а вторая - с $\eta_1 \neq 0, \eta_2 = 0$. Все различные коэффициенты смешивания, $\{\alpha_i\}$, $\{\alpha'_i\}, \dots$, удовлетворяют условиям нормировки $\sum_i \alpha_i^2 = 1$, $\sum_i \alpha'_i^2 = 1, \dots$.

Таким образом смещения атомов марганца и кислорода, показанные на рис. 3, описываются функциями (12) и (14) с волновым вектором $\mathbf{k}_1 = (1/2, 0, 0)$. Однако наш симметрийный анализ показывает (см. (7)), что имеется вторичный фононный ПП ξ с волновым вектором $\mathbf{k}_2 = (0, 0, 0)$. Конденсация этого ПП приводит к дополнительным атомным смещениям. Базисные векторы для ПП ξ будем обозначать через $e(i)$. Для атомов кислорода в плоскостях MnO_2 базисные векторы записываются следующим образом:

$$2\sqrt{2}e(1) = u_x(O_1) + u_x(O_2) - u_x(O_3) - u_x(O_4) + u_x(O_5) + u_x(O_6) - u_x(O_7) - u_x(O_8), \\ 2\sqrt{2}e(2) = u_z(O_1) - u_z(O_2) - u_z(O_3) + u_z(O_4) + u_z(O_5) - u_z(O_6) - u_z(O_7) + u_z(O_8). \quad (15)$$

Смещения атомов кислорода, показанные на рис. 2а, б и с, описываются функциями

$$\left\{ \alpha_1 [e_1(4) + e_2(4)] - \alpha_2 [e_1(5) + e_2(5)] + \right. \\ \left. + \alpha_3 [e_1(6) + e_2(6)] + \alpha_4 [e_1(7) + e_2(7)] \right\} \exp(-i\mathbf{k}_1 \mathbf{R}_n), \\ \alpha'_1 [\alpha_1 e_1(4) - \alpha_2 e_1(5) + \alpha_3 e_1(6) - \alpha_4 e_1(7)] \exp(-i\mathbf{k}_1 \mathbf{R}_n) + \\ + \alpha'_2 [\alpha'_1 e(1) + \alpha'_2 e(2)] \exp(-i\mathbf{k}_2 \mathbf{R}_n),$$

$$[\alpha_1 e(1) + \alpha_2 e(2)] \exp(-i\mathbf{k}_2 \mathbf{R}_n) = \alpha_1 e(1) + \alpha_2 e(2) \quad (16)$$

соответственно. Первая функция в (16) связана с конденсацией фононного ПП типа $\eta_1 = \eta_2 \neq 0$, вторая функция в (16) - с $\eta_1 \neq 0$, $\xi \neq 0$, а третья - с $\xi \neq 0$.

Проведенный анализ показывает, что все атомные смещения, которые наблюдались в экспериментах [1-3], описываются в предложенной теории.

Сформулируем полученные результаты. На основе знания волнового вектора ФП, $\mathbf{k}_1 = (1/2, 0, 0)$, было построено разложение свободной энергии (1)-(3), которое описывает все ФП из кристаллической фазы с симметрией $Pnma$ (см. (8) и (9)). Проведенный анализ показывает, что экспериментально наблюдаемые низкотемпературные фазы симметрии $P2_1 / m(C_{2h}^2)$, $Pmn2_1(C_{2v}^7)$ и $Pm(C_s^1)$ возникают в результате трех типов конденсации ПП симметрии τ_1 , $\varphi_1 \neq 0$, $\varphi_1 = \varphi_2 \neq 0$ и $\varphi_1 \neq \varphi_2 \neq 0$ соответственно. Согласно экспериментальным данным [10,11], ФП в мanganите $Pr_{1-x}Ca_xMnO_3$ ($0,3 < x < 0,7$) приводит к орбитальному и зарядовому упорядочению. Следовательно, ПП данного ФП связан либо с орбитальными, либо с зарядовыми степенями свободы, причем орбитальные и зарядовые степени свободы могут взаимодействовать между собой. Наблюдение одинаковой валентности ионов марганца в низкотемпературной фазе $Pr_{0.6}Ca_{0.4}MnO_3$ [1] указывает на то, что ПП обсуждаемого ФП связан с орбитальными (орбиталь типа d_{z^2}), а не с зарядовыми степенями свободы. В нашей феноменологической теории ПП $\{\varphi_1, \varphi_2\}$ описывает усредненную по кристаллу вероятность заполнения электроном орбитали типа d_{z^2} на ионе Mn^{3+} , причем все орбитали типа d_{z^2} лежат в плоскости MnO_2 и имеют в фазе $Pnma$ два возможных направления (см. рис.2). В

рамках такой модели было показано, что ориентационное упорядочение орбиталей, в случае конденсации ПП типа $\varphi_1 = \varphi_2 \neq 0$, приводит к одинаковой валентности ионов марганца в низкотемпературной фазе симметрии $Pmn2_1(C_{2v}^7)$ (см. рис. 2, а), а при конденсации ПП типа $\varphi_1 \neq 0$ - к зарядовому разделению (появлению ионов $Mn^{3.5+\delta}$ и $Mn^{3.5-\delta}$) и к орбитальной структуре, которая показана на рис. 2б (симметрия низкотемпературной фазы - $P2_1 / m(C_{2h}^2)$). Проведенный анализ атомных смещений также показывает, что все экспериментально наблюдаемые атомные смещения для двух электронных состояний марганца описываются в рамках предложенной феноменологической теории и соответствуют двум типам конденсации орбитального ПП, $\varphi_1 = \varphi_2 \neq 0$ и $\varphi_i \neq 0, \varphi_j = 0$. Низкотемпературная фаза симметрии $P2_1 / m(C_{2h}^2)$, с конденсацией ПП типа $\varphi_i \neq 0, \varphi_j = 0$, возникает при условиях $\tilde{\nu} > 0, \tilde{u} > 0$, а фаза симметрии $Pmn2_1(C_{2v}^7)$, с конденсацией ПП $\varphi_1 = \varphi_2 \neq 0$, при $\tilde{\nu} < 0, \tilde{u} + \tilde{\nu}/2 > 0$, где $\tilde{\nu} \equiv \nu + \frac{4\beta_1^2}{r_1} + \frac{4\beta_2^2}{r_2}$ и $\tilde{u} \equiv u - \frac{2\beta_1^2}{r_1} - \frac{2\beta_2^2}{r_2}$ (см. аналогичный анализ в [7]). Следовательно, знак феноменологической константы $\tilde{\nu}$ определяет появление одной или другой фазы. В работе [1] было обнаружено, что реальная симметрия низкотемпературной фазы манганита $Pr_{0.6}Ca_{0.4}MnO_3$ - $Pm(C_s^1)$. Наш анализ показывает, что это промежуточная фаза с конденсацией ПП типа $\varphi_1 \neq \varphi_2 \neq 0$, поэтому можно предположить, что при концентрации $x \sim 0.4$ феноменологическая константа $\tilde{\nu}$ меняет знак. Таким образом, фазовую диаграмму манганита $Pr_{1-x}Ca_xMnO_3$ ($0.3 < x < 0.7$) [10,11] необходимо пересмотреть: при $x \sim 0.4$ манганит $Pr_{1-x}Ca_xMnO_3$ находится

в промежуточной фазе $\varphi_1 \neq \varphi_2 \neq 0$ [1], а в областях $0,3 < x < 0,4$ и $x > 0,4$ должны наблюдаться две различные орбитальные структуры, которые показаны на рис. 2. Для построения микроскопической теории орбитального и зарядового упорядочений можно использовать двухорбитальную модель двойного обмена (см., например, [14]).

Авторы выражают благодарность А.М.Балагурову и В.Ю.Помякушину за обсуждение результатов работы. Работа выполнена при частичной финансовой поддержке в рамках проектов INTAS 01-2008, РФФИ 02-02-16864 и 01-F-23.

Литература

1. A. Daoud-Aladine, J. Rodriguez-Carvajal, L. Pinsard-Gaudart, M.T. Fernandez-Diaz, A. Revcolevschi, *Phys. Rev. Lett.* **89**, N9, 097205-1 (2002).
2. P.G. Radaelli, D.E. Cox, M. Marezio, S.-W. Cheong, *Phys. Rev.* **B55**, 3015 (1997).
3. Z. Jirak, F. Damay, M. Hervieu, C. Martin, B. Raveau, *Phys. Rev.* **B61**, 1181 (2000).
4. S. Mori, C.H. Chen, S.-W. Cheong, *Nature*, **392**, 473 (1998).
5. M.V. Lobanov, A.M. Balagurov, V.Yu. Pomjakushin, P. Fischer, M. Gutmann, A.M. Abakumov, O.G. D'yachenko, E.V. Antipov, O.I. Lebedev, G.Van Tendeloo, *Phys. Rev.* **B61**, 8941 (2000).
6. О.В. Ковалев, *Неприводимые и индуцированные представления и копредставления федоровских групп*. Москва, Наука, 1986.
7. А. Брус, Р. Каули, *Структурные фазовые переходы*. Москва, Мир, 1984.
8. К.И. Кугель, Д.И. Хомский, УФН, **136**, N4, 621 (1982).
9. D.I. Khomskii, K.I. Kugel, *Europhys. Lett.*, **55**, 208 (2001); *cond-mat/0112340* (2001).

10. Z. Jirak, S. Krupica, Z. Simsa, M. Dlouha, S. Vratislav, *J. Magn. Magn. Mater.* **53**, 153 (1985).
11. M.v. Zimmermann, C.S. Nelson, J.P. Hill, Doon Gibbs, M. Blume, D. Casa, B. Keimer, Y. Murakami, C.-C. Kao, C. Venkataraman, T. Gog, Y. Tomioka Y. Tokura, *Phys. Rev. B* **64**, 195133-1 (2001).
12. Y. Murakami, H. Kawada, H. Kawata, M. Tanaka, T. Arima, Y. Moritomo, Y. Tokura, *Phys. Rev. Lett.* **80**, N9, 1932 (1998).
13. J. Garcia, M.C. Sanchez, J. Blasco, G. Subias, M.G. Proietti, *J. Phys. Condens. Matter*, **13**, 3243 (2001).
14. G. Jackeli, N.B. Perkins, N.M. Plakida, *Phys. Rev. B* **62**, 372 (2000).

Получено 29 октября 2002 г.

Шахматов В. С., Плакида Н. М., Тончев Н. С.
Орбитальный фазовый переход в $\text{Pr}_{1-x} \text{Ca}_x \text{MnO}_3$

P17-2002-245

Развита феноменологическая теория фазового перехода в мanganите $\text{Pr}_{0.6} \text{Ca}_{0.4} \text{MnO}_3$. Показано, что этот фазовый переход является орбитальным фазовым переходом, а два обсуждаемых в литературе электронных состояния иона марганца возникают в результате двух различных типов конденсации одного и того же орбитального параметра порядка. Таким образом, ион марганца в мanganите $\text{Pr}_{1-x} \text{Ca}_x \text{MnO}_3 (0.3 \leq x \leq 0.5)$ может иметь одно или другое электронное состояние в зависимости от величин термодинамических параметров.

Работа выполнена в Лаборатории теоретической физики им. Н. Н. Боголюбова ОИЯИ.

Препринт Объединенного института ядерных исследований. Дубна, 2002

Перевод авторов

Shakhmatov V. S., Plakida V. M., Tonchev N. S.
Orbital Phase Transition in $\text{Pr}_{1-x} \text{Ca}_x \text{MnO}_3$

P17-2002-245

A phenomenological theory of the phase transition in $\text{Pr}_{0.6} \text{Ca}_{0.4} \text{MnO}_3$ is developed. The phase transition is an orbital phase transition. Two electronic states of manganese ions discussed in literature appear as a result of condensation of the orbital order parameter. Thus, manganese ions in $\text{Pr}_{1-x} \text{Ca}_x \text{MnO}_3 (0.3 \leq x \leq 0.5)$ have one of the two electronic states in dependence on magnitudes of the thermodynamical parameters.

The investigation has been performed at the Bogoliubov Laboratory of Theoretical Physics, JINR.

Редактор *М. И. Зарубина*
Макет *Н. А. Киселевой*

Подписано в печать 20.11.2002.

Формат 60 × 90/16. Бумага офсетная. Печать офсетная.
Усл. печ. л. 0,87. Уч.-изд. л. 0,79. Тираж 305 экз. Заказ № 53622.

Издательский отдел Объединенного института ядерных исследований
141980, г. Дубна, Московская обл., ул. Жолио-Кюри, 6.

E-mail: publish@pds.jinr.ru
www.jinr.ru/publish/